

# Kryptosystem z generacją skrzynek podstawieniowych w czasie rzeczywistym wykorzystujący dyskretne chaotyczne układy dynamiczne

Seminarium

Michał Łazicki

Opiekun:  
dr hab. Z. Kotulski, prof. PW

# Cel pracy

- Wykorzystanie dyskretnych układów dynamicznych z własnością chaosu do budowy wydajnego i bezpiecznego kryptosystemu

# Co to jest szyfr blokowy?

- Strumień informacji (bitów) dzielony na bloki o skończonej długości
- Szyfrowanie – przekształcenie bloku bitów (tekst odkryty) w inny blok bitów o tej samej długości (szyfrogram)
- Formalnie:

$$F_K(\cdot) : \{0,1\}^l \rightarrow \{0,1\}^l$$

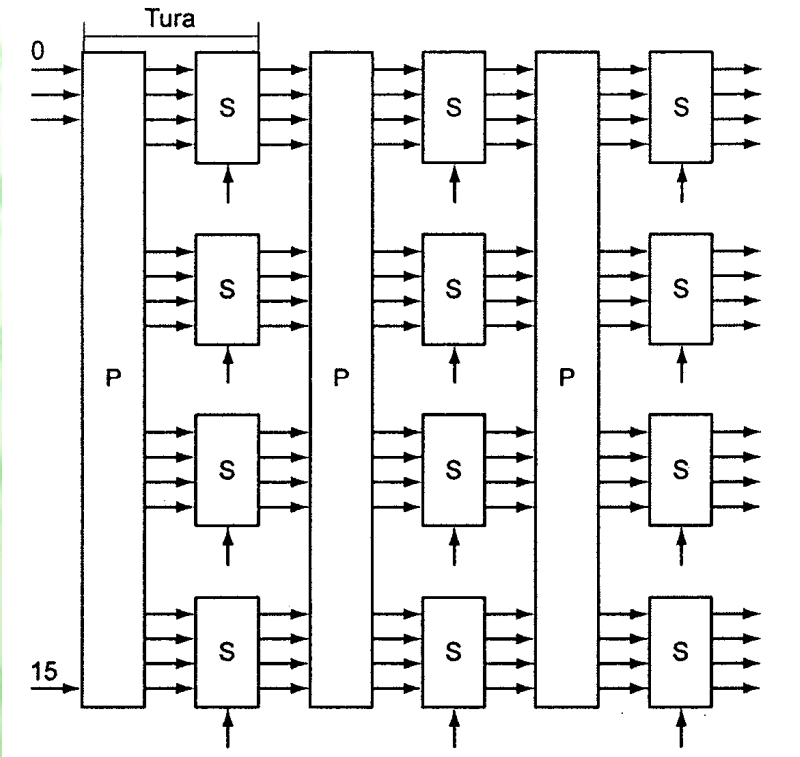
# Wymagania dla szyfrów blokowych

- Funkcja  $F$  powszechnie znana
- Legalny użytkownik powinien łatwo wykonywać operację szyfrowania  $F_K$  i odszyfrowania  $F_K^{-1}$  o ile zna tajny klucz  $K$
- Potencjalny przeciwnik ma trudności z:
  - szyfrowaniem i deszyfrowaniem, gdy nie zna klucza  $K$
  - znalezieniem klucza na podstawie pary tekstów: odkryty i zaszyfrowany
  - uzyskaniem jakiejkolwiek informacji na podstawie znajomości tekstu zaszyfrowanego.

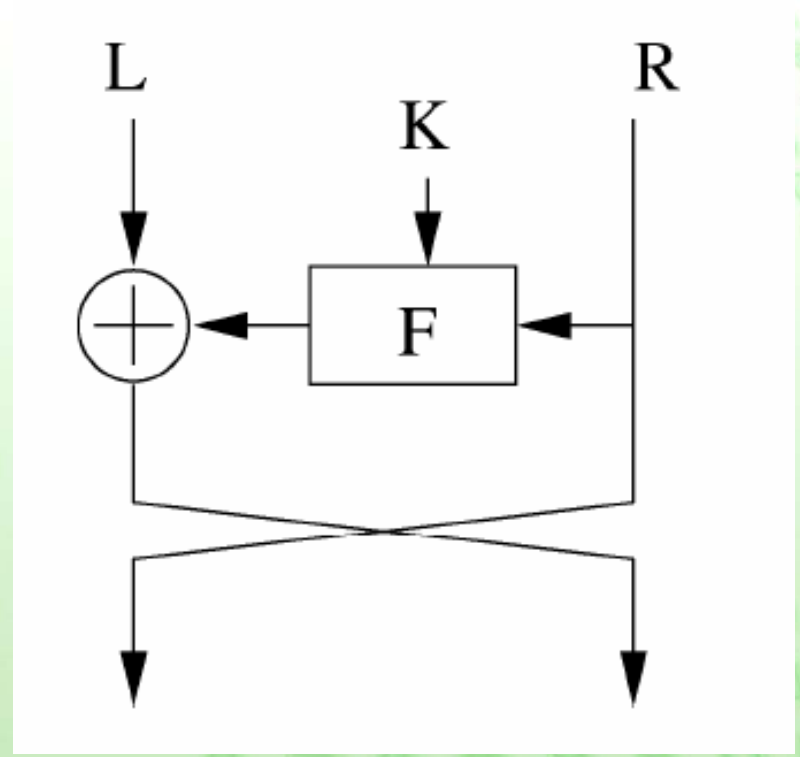
# Budowa szyfru blokowego

- Funkcja  $F_K$  – n-krotne złożenie pewnego przekształcenia  $f_{K_i}$  nazywanego funkcją rundową
  - $K_i$  – klucze rundowe otrzymane z klucza  $K$
  - $i = 1, \dots, n$  – numer rundy
- Funkcja rundowa  $f_{K_i}$  złożona z:
  - operacji nieliniowych, czyli podstawień
  - operacji liniowych, czyli permutacji

# Struktury szyfrów blokowych



Struktura S-P



Struktura Feistela

# Wymagania konstrukcyjne

- Mieszanie i rozpraszanie
- Lawinowość i zupełność
- Dyfuzja i konfuzja

# Mieszanie i rozpraszanie

- Mieszanie – losowe i równomierne rozprowadzanie wiadomości tekstu jawnego po zbiorze wiadomości tekstu zaszyfrowanego
- Rozpraszanie – bity znajdujące się obok siebie przed wejściem do rundy, po wyjściu z tej rundy wpływają na bity odległe od siebie (każdy bit wejściowy wpływa na wiele bitów wyjściowych)



# Lawinowość i zupełność

- Lawinowość – zmiana jednego bitu na wejściu rundy wywołuje zmianę co najmniej dwóch bitów na wyjściu rundy
- Zupełność – każdy bit bloku wyjściowego jest skomplikowaną funkcją wszystkich bitów bloku wejściowego

# Dyfuzja i konfuzja

- Dyfuzja – rozmycie wszelkich związków pomiędzy bitami tekstu jawnego lub klucza w całym bloku
  - Miarą dyfuzji jest prawdopodobieństwo aproksymacji różnicowej  $DP$
- Konfuzja – maksymalne wymieszanie bitów bloku klucza z bitami bloku tekstu szyfrowanego i uczynienie ich związku skomplikowanym
  - Miarą konfuzji jest prawdopodobieństwo aproksymacji liniowej  $LP$

# Teoria chaosu

- Dział matematyki zajmujący się opisem układów zdeterminowanych, które jednak zachowują się w sposób kapryśny, nieprzewidywalny i na pozór przypadkowy
- Dla pewnych wartości parametrów równania zachowują się chaotycznie, podczas gdy dla pozostałych - regularnie

# Teoria chaosu – pojęcia (1/3)

- Dyskretny układ dynamiczny – para  $(X, \varphi)$  :
  - $X$  – przestrzeń stanów (przestrzeń metryczna)
  - $\varphi$  – ciągłe odwzorowanie z  $X$  do  $X$
- Trajektoria (startująca z punkt  $x_0$ ) – ciąg elementów  $X$  uzyskanych przez iteracje:

$$x_{n+1} = \varphi(x_n) \text{ lub } x_n = \varphi^n(x_0)$$

# Teoria chaosu – pojęcia (2/3)

- Niestabilność – wrażliwość na warunki początkowe („efekt motyla”)
- Matematycznie: dodatni wykładnik Lapunowa
- Cecha systemu niestabilnego to wykładniczy wzrost między sąsiednimi punktami przestrzeni fazowej
  - $x_{n+1} = ax_n \Rightarrow$  po  $n$  krokach otrzymujemy zależność:  
$$x_{n+1} = a^n x_0 = x_0 e^{n \ln a}$$
  - $\ln a$  – pokazuje, jak zmienia się odległość między punktami

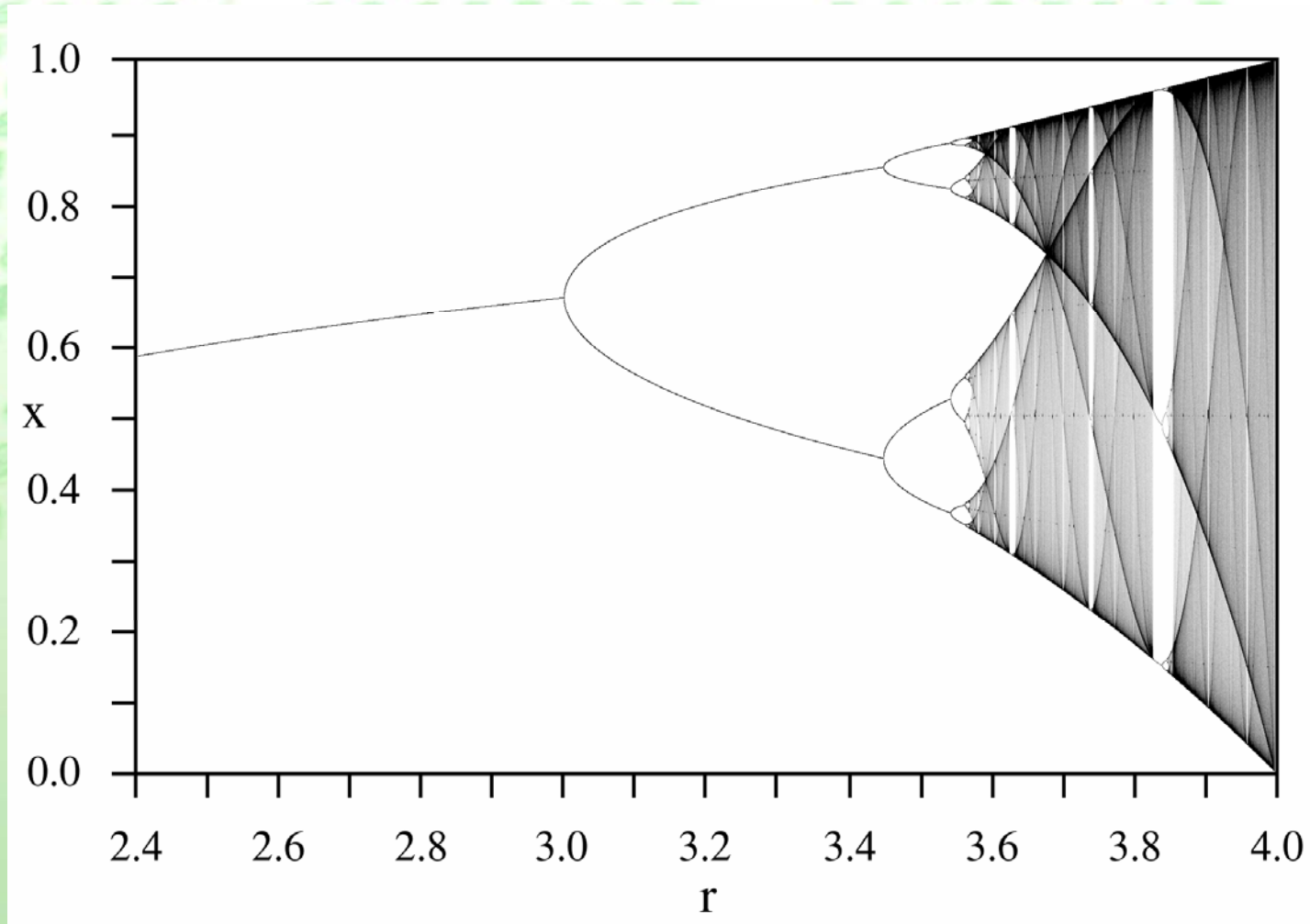
# Teoria chaosu – pojęcia (3/3)

- Ergodyczność – trajektoria startująca z dowolnego  $x_0 \in X$  nigdy nie lokalizuje się w pewnym podzbiorze przestrzeni
- Mieszanie – własność silniejsza niż ergodyczność; startując z dowolnego  $x_0 \in X$ , w wyniku iteracji osiągamy dowolny podzbiór  $X$  z prawdopodobieństwem proporcjonalnym do rozmiaru tego zbioru w całej przestrzeni stanów

# Odwzorowanie logistyczne (1/2)

- $x_{n+1} = rx_n(1-x_n)$  na odcinku jednostkowym  $[0,1]$
- Dla wartości  $r \in [0,4]$  odwzorowanie przeprowadza odcinek jednostkowy w siebie
- Dla różnych wartości  $r$ , układ generuje różne trajektorie
  - $0 < r \leq 1$  – wszystkie ciągi  $x_1, x_2, \dots, x_n$  zbiegają do zera
  - $1 < r \leq 3$  – punkt  $1-1/r$  jest atraktorem – zbiegają do niego wszystkie ciągi  $x_1, x_2, \dots, x_n$
  - $r > 3$  – atraktor staje się wielopunktowy

# Odzworowanie logistyczne (2/2)





# Między chaosem a kryptografią

System chaotyczny

Algorytmy  
kryptograficzne

Przestrzeń fazowa:  
zbiór liczb  
rzeczywistych

Przestrzeń fazowa:  
zbiór liczb  
naturalnych

Iteracje

Rundy

# Między chaosem a kryptografią

Parametry

Klucze

Wrażliwość na  
zmianę warunków  
początkowych

Dyfuzja

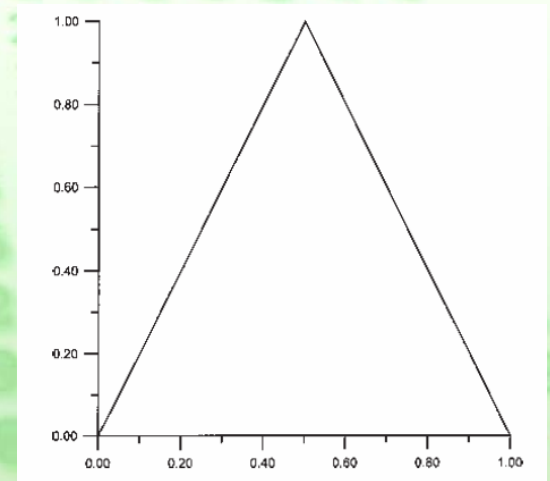
?

Bezpieczeństwo i  
wydajność

# Pierwszy szyfr blokowy oparty o chaos dyskretny (1/4)

- Propozycja Toshiki Habutsu na konferencji EUROCRYPT'91

$$F : \begin{cases} x_{n+1} = \frac{x_n}{\alpha} & \text{dla } 0 \leq x_n \leq \alpha \\ x_{n+1} = \frac{x_n - 1}{\alpha - 1} & \text{dla } \alpha < x_n \leq 1 \end{cases}$$



- Wykładnik Lapunowa dla danego  $\alpha$ :

$$\lambda = -\alpha \log \alpha - (1 - \alpha) \log(1 - \alpha)$$

# Pierwszy szyfr blokowy oparty o chaos dyskretny (2/4)

- Odwzorowanie odwrotne ma postać:

$$F^{-1} : \begin{cases} x_{n-1} = \alpha x_n \\ \text{lub} \\ x_{n-1} = (\alpha - 1)x_n + 1 \end{cases}$$

- Odwzorowania  $F$  i  $F^{-1}$  mają właściwości:
  - $F$  jest odwzorowaniem 2:1
  - $F^{-1}$  jest odwzorowaniem 1:2
  - $F^n$  jest odwzorowaniem  $2^n:1$
  - $F^{-n}$  jest odwzorowaniem  $1:2^n$

# Pierwszy szyfr blokowy oparty o chaos dyskretny (3/4)

- Dla każdego  $n$  i dla każdego  $x \in X = [0, 1]$  spełniona jest równość:  $X = F^n(F^{-n}(X))$
- Tajnym kluczem jest parametr  $\alpha \in [0, 1]$
- Szyfrowaną wiadomością (blokiem) jest liczba  $P \in [0, 1]$

- Szyfrowanie:

$$C = F^{-n}(P) = F^{-1}(F^{-1}(\dots F^{-1}(P)))$$

- Deszyfrowanie:

$$P = F^n(C) = F(F(\dots F(C)))$$

# Pierwszy szyfr blokowy w oparty o chaos dyskretny (4/4)

- Zalety:
  - Bezpieczeństwo szyfru oparte na ścisłej teorii matematycznej: teorii dyskretnych w czasie układów dynamicznych z własnością chaosu
- Wady:
  - Nieodporny na różne rodzaje ataków, m. in. atak wybranym szyfrogramem, atak wybranym tekstem jawnym
  - Operuje na liczbach rzeczywistych, zatem wynik obliczeń zależy od implementacji sprzętowej

# Chaotyczny szyfr blokowy

- Propozycja budowy szyfru z użyciem S-boxów wygenerowanych przy pomocy chaotycznych układów dynamicznych

# Chaotyczny szyfr blokowy

- Propozycja szyfru:
  - Dane wejściowe: blok bitów o długości 64 bitów
  - Klucz: blok bitów o długości 128 bitów
  - Dane wyjściowe: blok bitów o długości 64 bitów
  - Liczba rund:  $r$



# Chaotyczny szyfr blokowy

- Generacja kluczy rundowych:
  - $K$  – klucz:  $K=K_0K_1\dots K_{15}$
  - $K_{i,k+1}=K_{i-1,k} \oplus f_{k-1}[K_{i-1,1}, \dots, K_{i-1,k-1}, c_{k-1}]$
  - $z_i$  – klucz  $i$ -tej rundy,  $z_i=RH(K_i)$
  - gdzie:
    - $i=1, \dots, r$
    - $k=1, \dots, 16$
    - $f_0=c_0$ ,  $K_{i,16}=K_{i,0}$ ,  $K_{i,17}=K_{i,1}$
    - $c_0, \dots, c_{15}$  – stała liczba
    - $f_{k-1}[K_{i-1,1}, \dots, K_{i-1,k-1}, c_{k-1}] = f_{k-1}[K_{i-1,1} \oplus \dots \oplus K_{i-1,k-1} \oplus c_{k-1}]$
    - $RH$  – funkcja, która zwraca prawą połowę klucza  $K_i$

# Chaotyczny szyfr blokowy

- Szyfrowanie:

- $X$  – dane wejściowe:  $X = X_0 X_1 \dots X_7$

- $X_{i,k+1} = X_{i-1,k} \oplus f_{k-1}[X_{i-1,1}, \dots, X_{i-1,k-1}, z_{i,k-1}]$

- gdzie:

- $i = 1, \dots, r$

- $k = 1, \dots, 8$

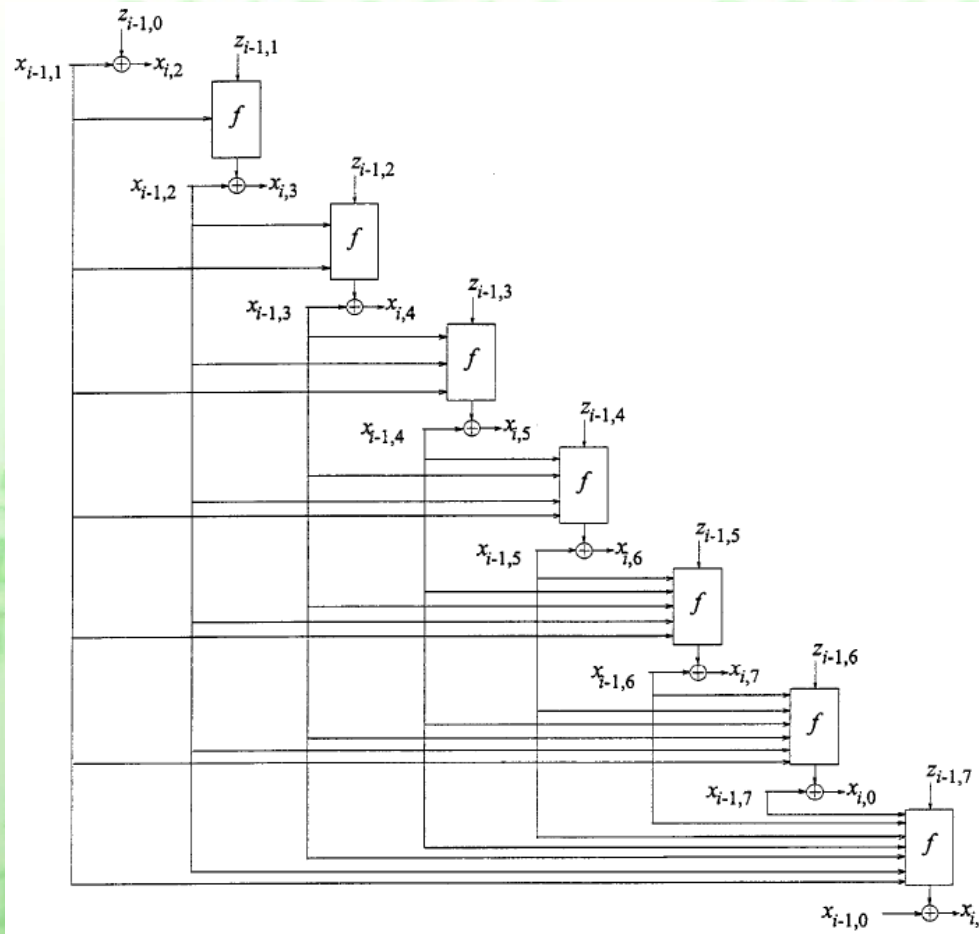
- $f_0 = z_{i,0}$ ,  $X_{i,8} = X_{i,0}$ ,  $X_{i,9} = X_{i,1}$

- $z_i$  – klucz  $i$ -tej rundy

- $f_{k-1}[X_{i-1,1}, \dots, X_{i-1,k-1}, z_{i,k-1}] = f_{k-1}[X_{i-1,1} \oplus \dots \oplus X_{i-1,k-1} \oplus z_{i,k-1}]$

# Chaotyczny szyfr blokowy

Runda szyfrowania danych



# Chaotyczny szyfr blokowy

- Deszyfrowanie:

- $X$  – dane wejściowe:  $X = X_0 X_1 \dots X_7$

- $X_{i-1,k} = X_{i,k+1} \oplus f_{k-1}[X_{i-1,1}, \dots, X_{i-1,k-1}, z_{i,k-1}]$

- gdzie:

- $i = r, \dots, 1$

- $k = 1, \dots, 8$

- $f_0 = z_{i,0}$ ,  $X_{i,8} = X_{i,0}$ ,  $X_{i,9} = X_{i,1}$

- $z_i$  – klucz  $i$ -tej rundy

- $f_{k-1}[X_{i-1,1}, \dots, X_{i-1,k-1}, z_{i,k-1}] = f_{k-1}[X_{i-1,1} \oplus \dots \oplus X_{i-1,k-1} \oplus z_{i,k-1}]$

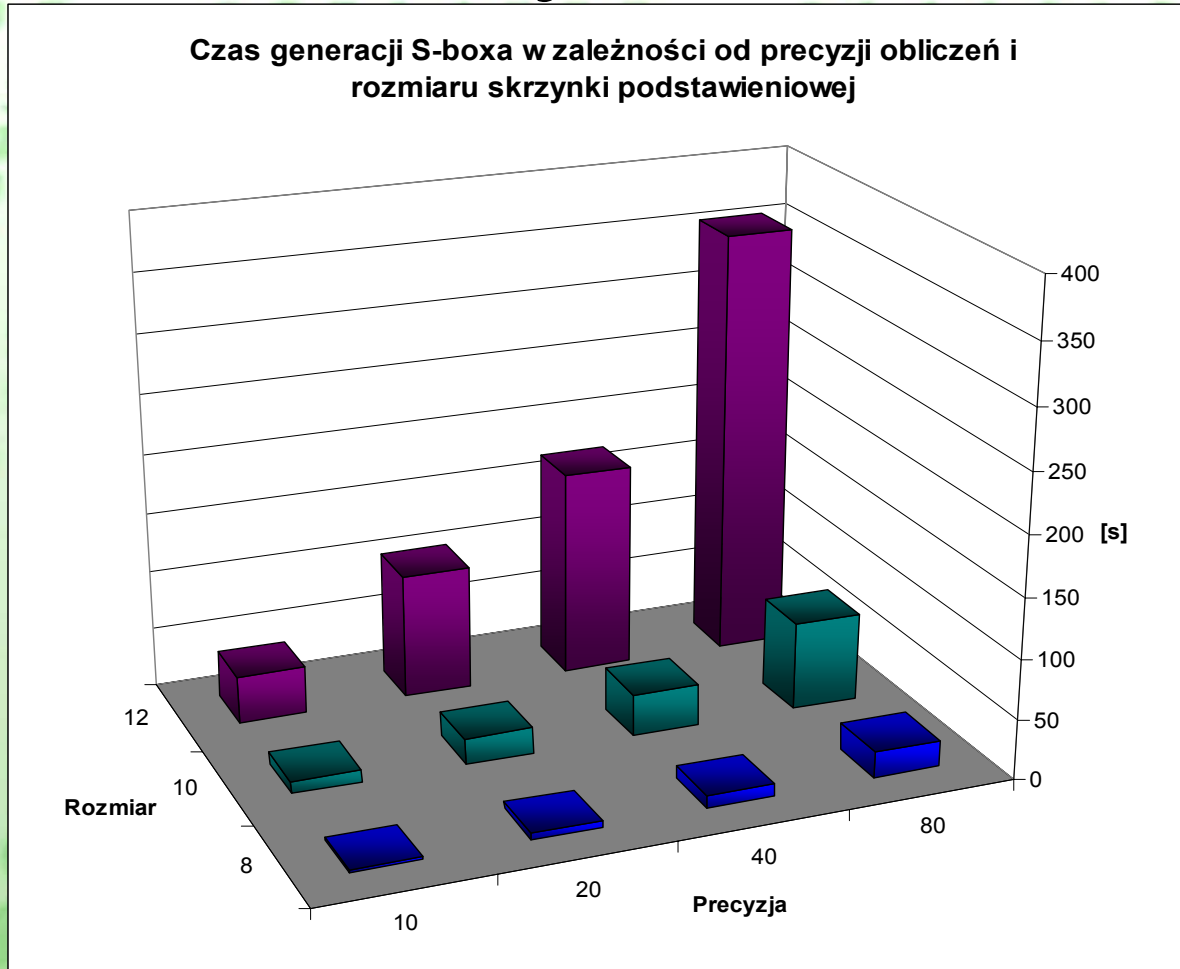
# Metoda generacji S-boxów

- Propozycja generacji S-boxów przy użyciu chaotycznych układów dynamicznych:
  - odwzorowanie logistyczne:  $x_{n+1} = 4x_n(1 - x_n)$
  - Procedura generacji S-boxa o m wartościach:
    1. Dzielimy przestrzeń stanów na  $n+1 > m$ e obszarów i każdemu z obszarów przypisujemy liczbę od 0 do n
    2. Punkt w obszarze i ma wartość i
    3. Wybieramy losowo z każdego obszaru punkt i poddajemy go N przekształceniom
    4. Znajdujemy zbiór punktów startowych S, które mają unikalny obraz (tzn. do jednego przedziału wpada tylko jeden punkt) oraz wybieramy podzbiór A o m elementach
    5. Przypisujemy mu nowe wartości od 0 do m-1 i tak samo ich obrazom, zachowując porządek starych wartości

# Metoda generacji S-boxów - problemy

- Dokładność obliczeń
  - Zmienna double 0.1 →  
0.100000000000000000000000555111512312578270211815  
83404541015625
  - Rozwiązanie: obiekt reprezentujący liczbę z odcinka  
(0,1) ze skończoną dokładnością
- Czas obliczeń

# Metoda generacji S-boxów - wyniki



# Metoda generacji S-boxów - wyniki

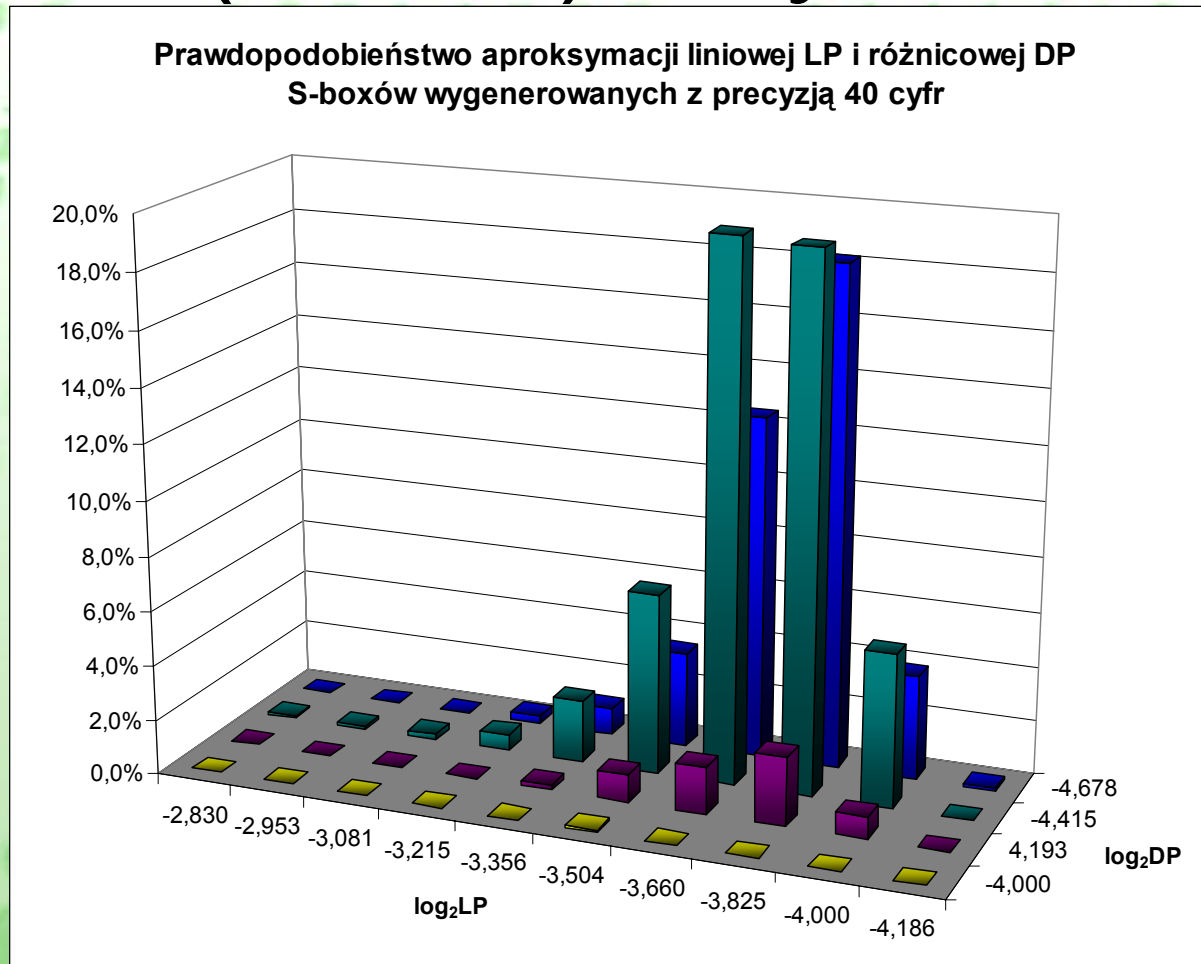
| Parametry S-boxa 8 bitowego dla generacji z precyzją 40 cyfr |              |              |        |          |
|--|--------------|--------------|--------|----------|
|  | DP           | LP           | SAC    | Czas [s] |
| Min.   | $2^{-4,678}$ | $2^{-4,186}$ | 0,4841 | 10,540   |
| Max.   | $2^{-4,000}$ | $2^{-2,712}$ | 0,5127 | 10,771   |
| Średnia  | $2^{-4,513}$ | $2^{-3,726}$ | 0,5017 | 10,611   |

| Parametry S-boxa 10 bitowego dla generacji z precyzją 40 cyfr |              |              |        |          |
|---|--------------|--------------|--------|----------|
|   | DP           | LP           | SAC    | Czas [s] |
| Min.  | $2^{-6,415}$ | $2^{-5,660}$ | 0,4943 | 34,858   |
| Max.  | $2^{-5,678}$ | $2^{-4,953}$ | 0,5068 | 35,750   |
| Średnia   | $2^{-6,258}$ | $2^{-5,375}$ | 0,5007 | 35,185   |

| Parametry S-boxa 12 bitowego dla generacji z precyzją 40 cyfr |              |              |        |          |
|---|--------------|--------------|--------|----------|
|   | DP           | LP           | SAC    | Czas [s] |
| Min.  | $2^{-8,193}$ | $2^{-7,320}$ | 0,4988 | 170,294  |
| Max.  | $2^{-7,660}$ | $2^{-6,922}$ | 0,5011 | 172,958  |
| Średnia   | $2^{-8,036}$ | $2^{-7,143}$ | 0,4998 | 171,396  |



# Metoda generacji S-boxów (8 – bit) - wyniki



# Właściwości S-boxów (8 – bit)

- Dobre właściwości kryptograficzne S-boxów:

$$2^{-4} \leq DP \leq 2^{-5}$$

$$2^{-3} \leq LP \leq 2^{-4}$$

- Dla całego szyfru:

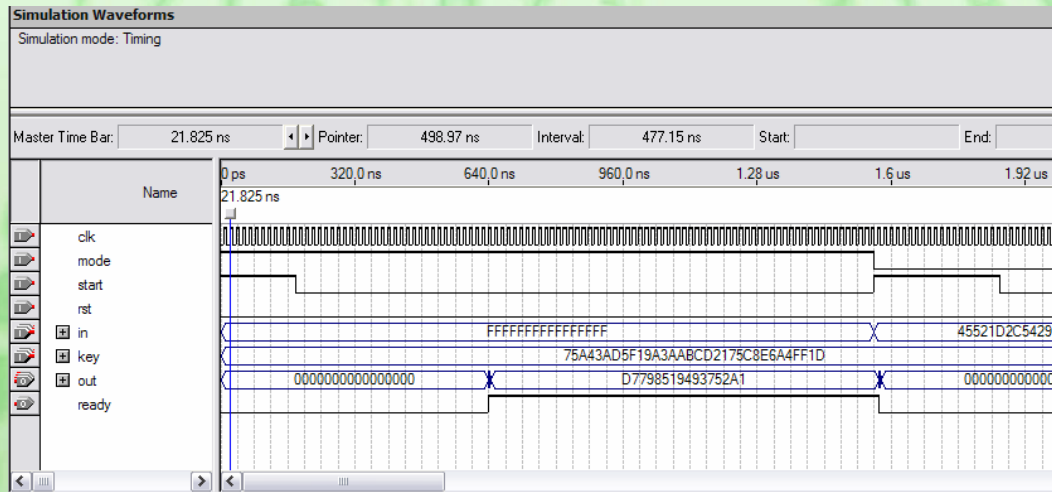
$$2^{-68} \leq DP \leq 2^{-85}$$

$$2^{-51} \leq LP \leq 2^{-68}$$

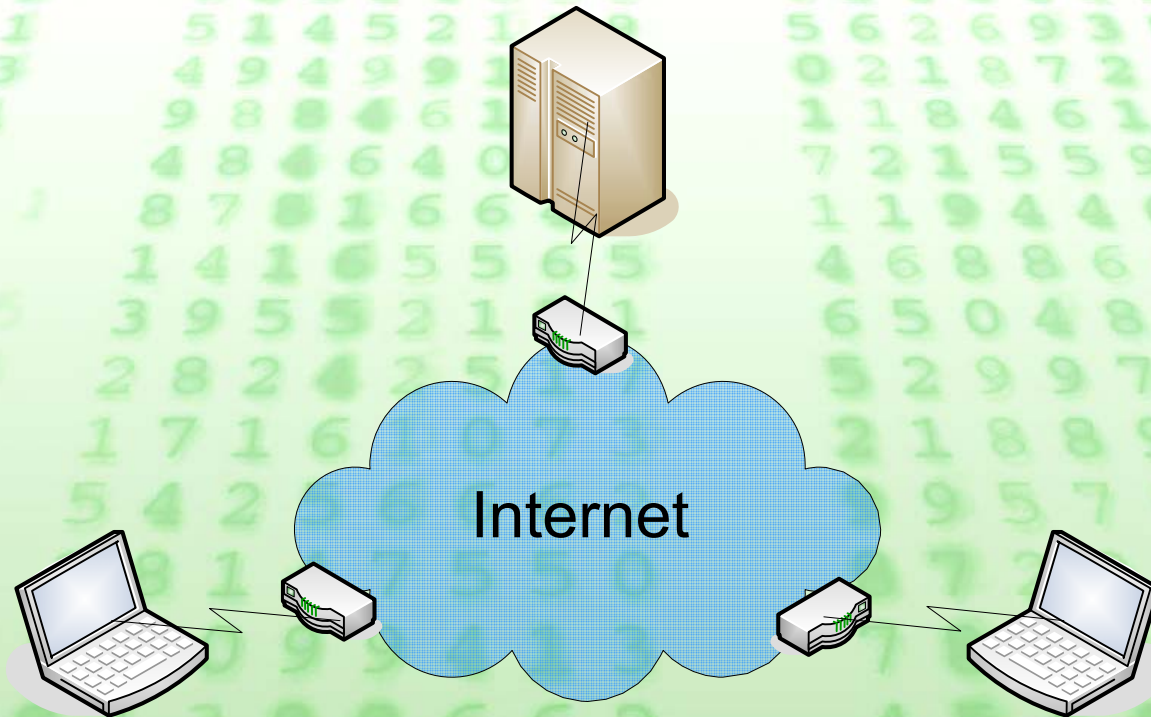
- Złożoność ataków:
  - różnicowego:  $\sim 1/DP$
  - liniowego:  $\sim 1/LP$

# Realizacja w układzie FPGA

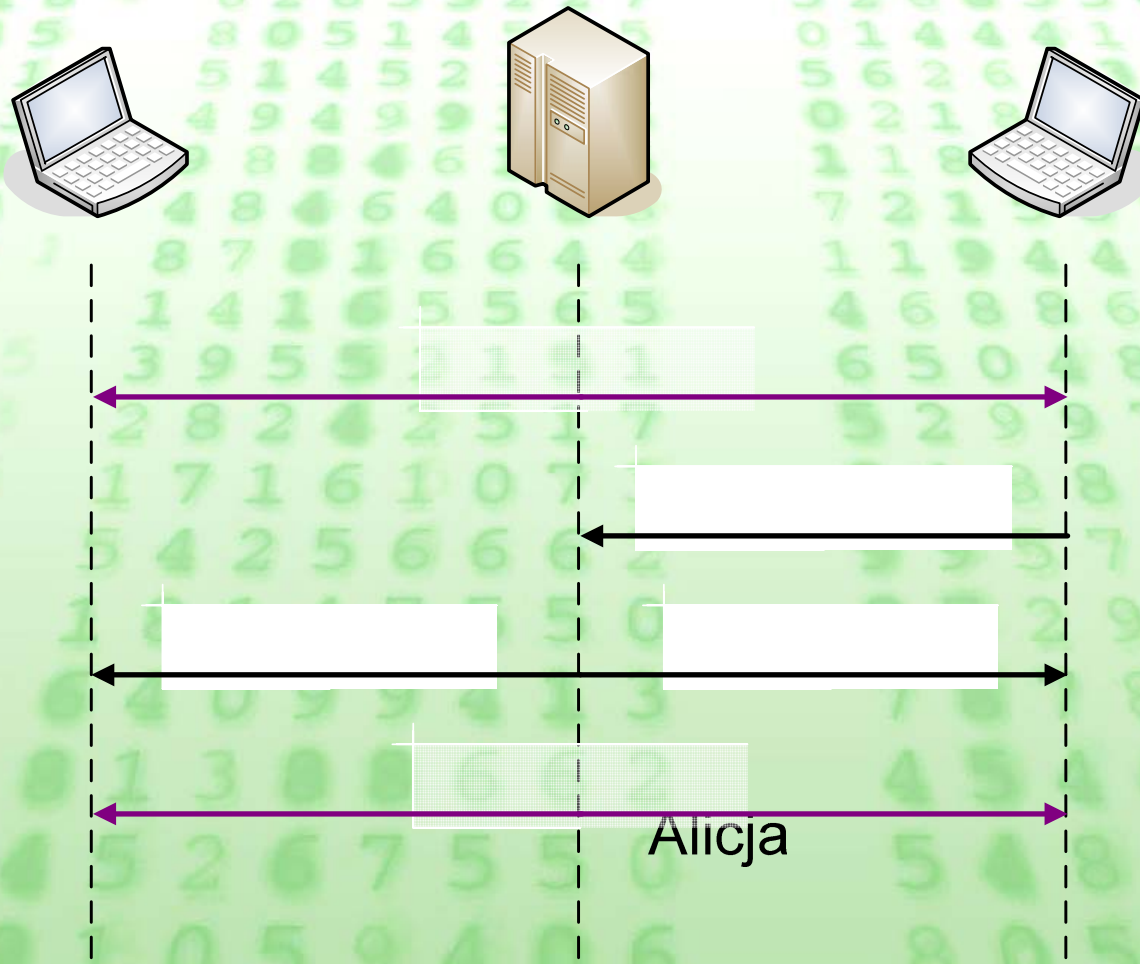
- Układ zaimplementowany w układzie FPGA Stratix z rodziny EP1S20
- Przepływność: 195 Mbit/s
- Przepływność dla szyfru AES: 365 Mbit/s



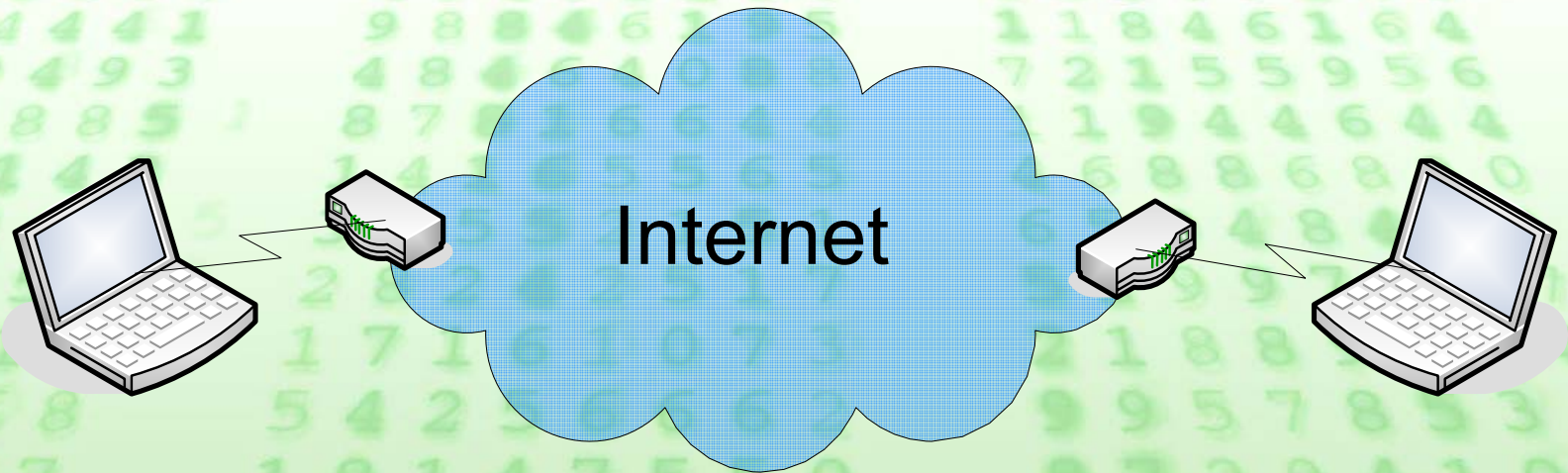
# Propozycja kryptosystemu (1)



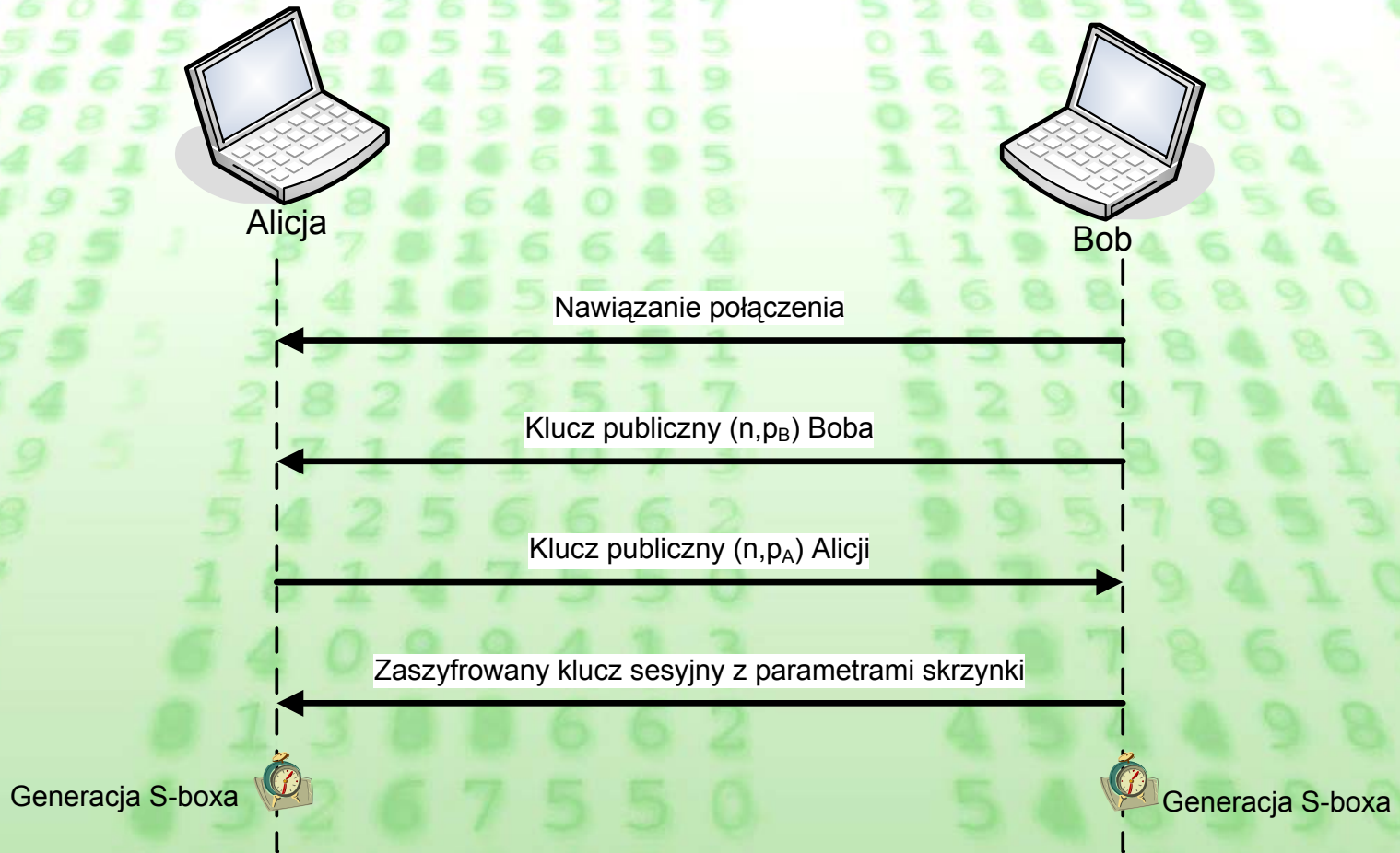
# Propozycja kryptosystemu (1)



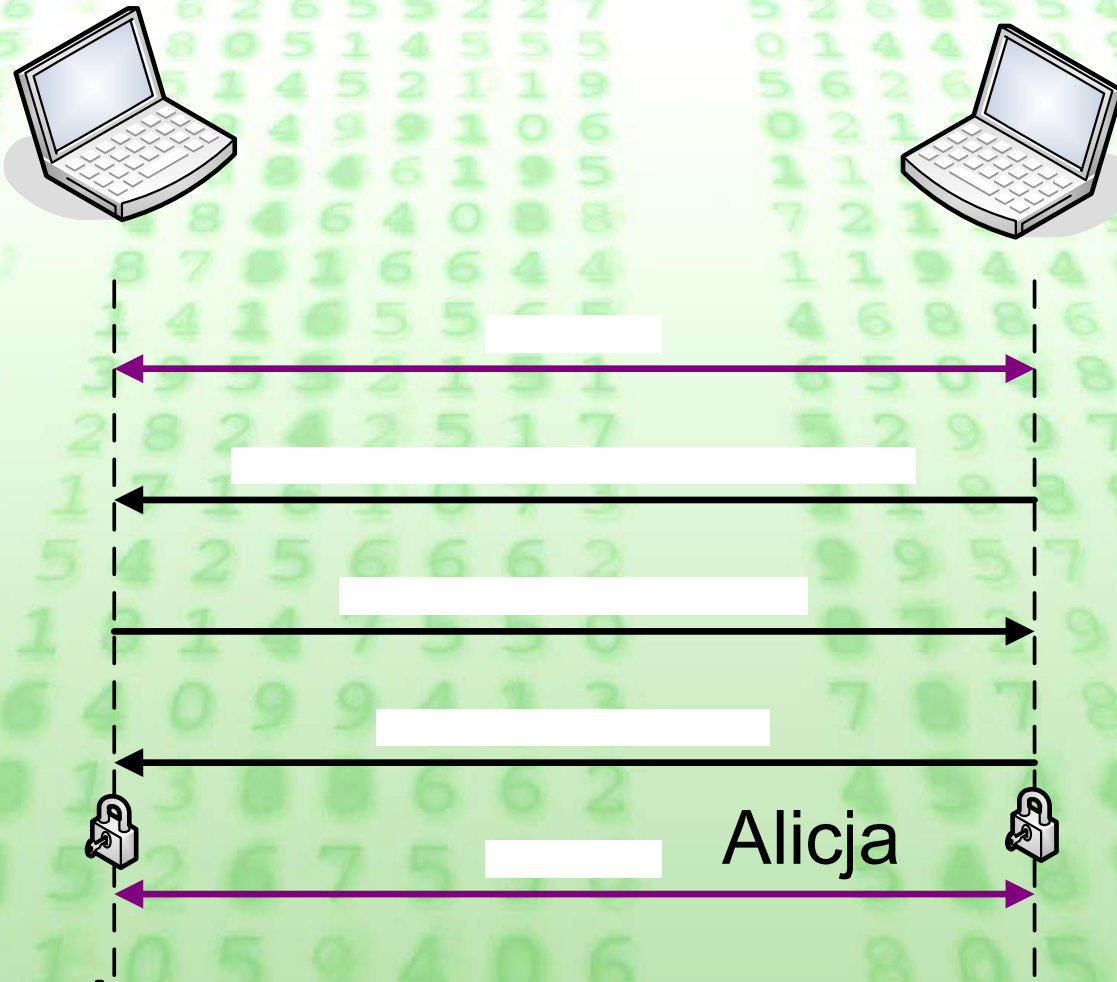
# Propozycja kryptosystemu (2)



# Propozycja kryptosystemu (2)

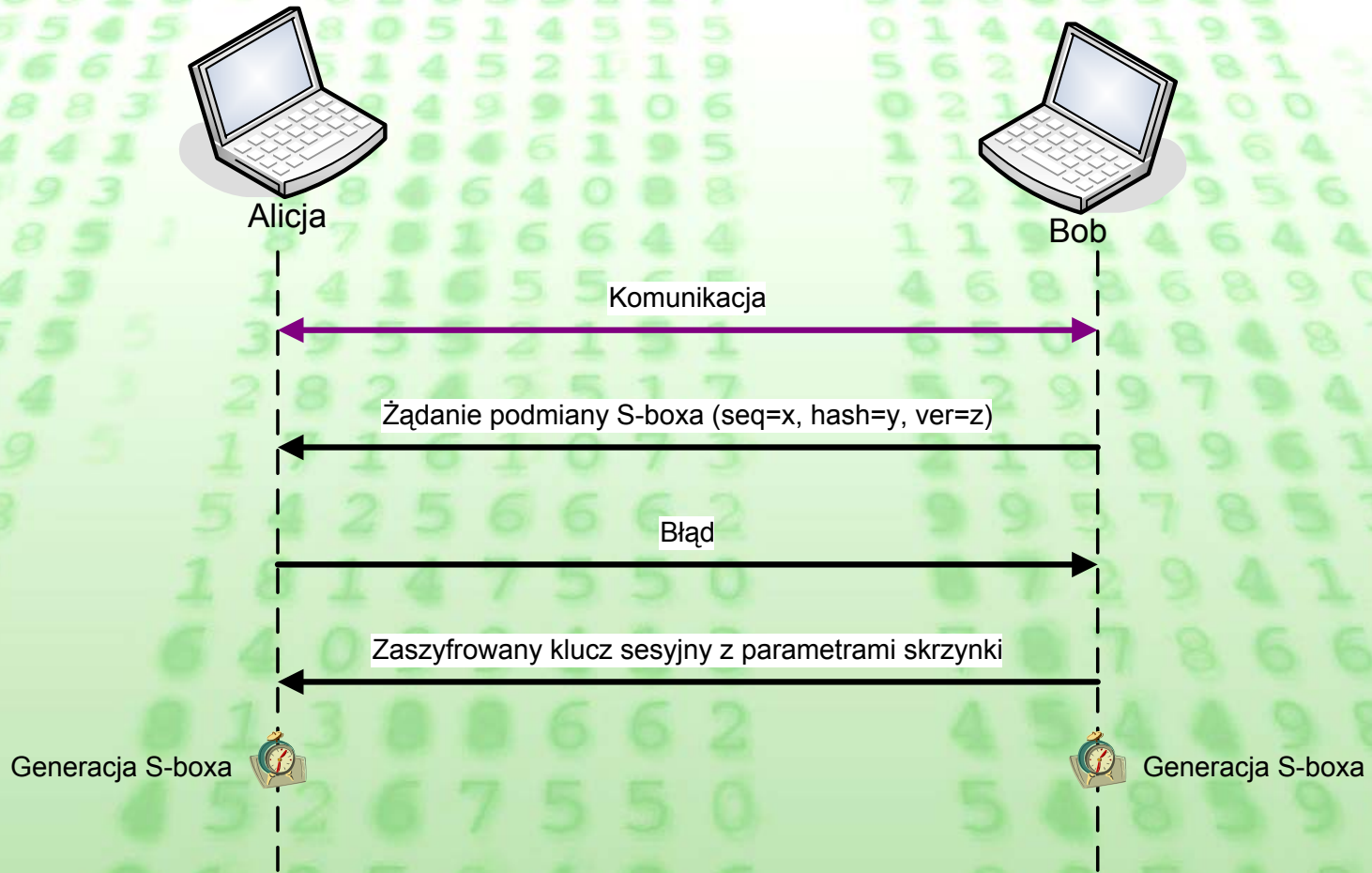


# Propozycja kryptosystemu (2)

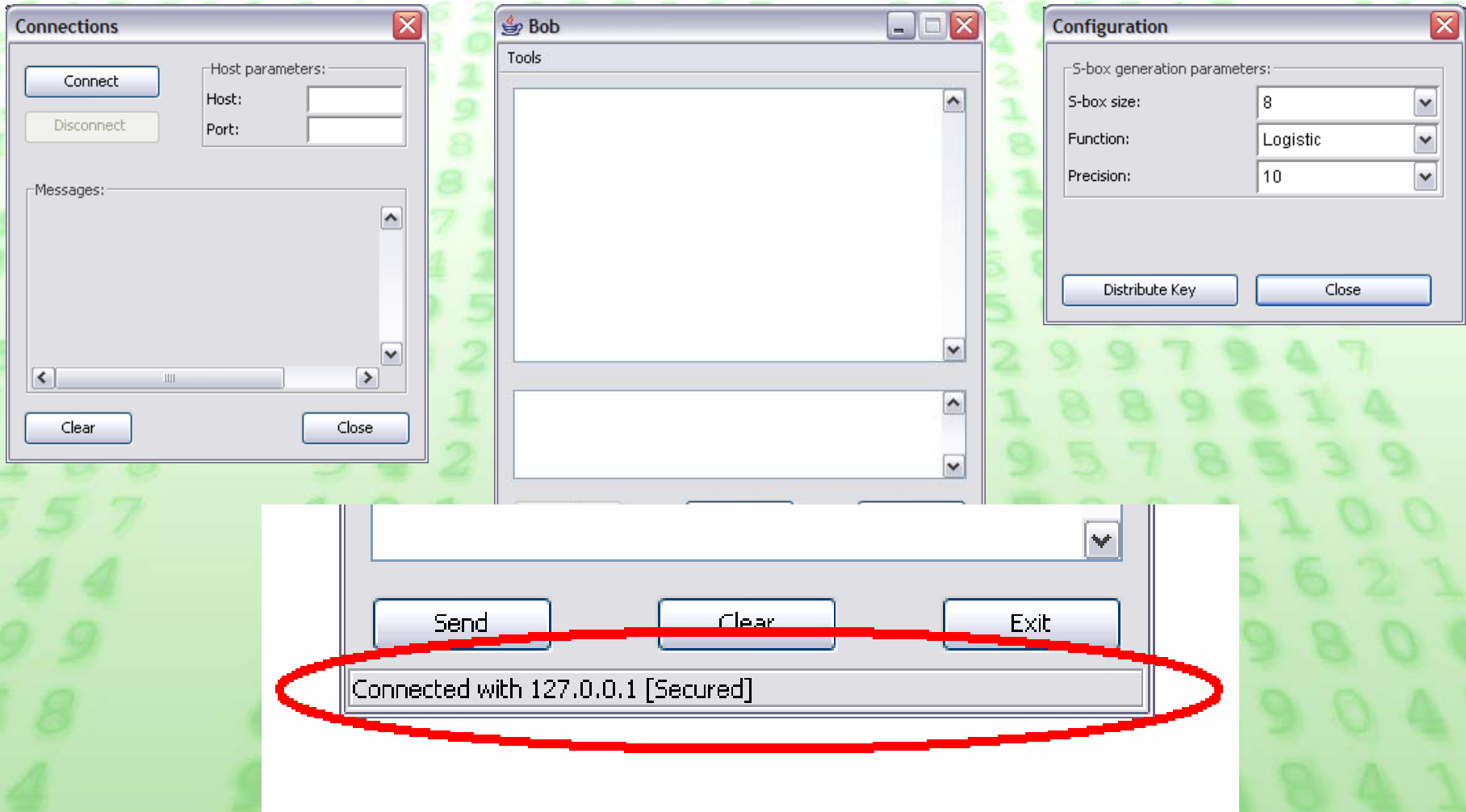




# Propozycja kryptosystemu (2)



# Implementacja kryptosystemu



# Kryptosystem -zagrożenia

- Atak „man in the middle”
- Odkrycie klucza sesyjnego przy pierwszej turze wymiany wiadomości sygnalizacyjnych

# Podsumowanie

- „Ktoś z bardzo dobrą znajomością kryptoanalizy i teorii chaosu jest w stanie skonstruować bezpieczny, aczkolwiek wolny algorytm kryptograficzny”

L. Kocarev

- Kryptosystem z generacją skrzynek podstawieniowych w czasie rzeczywistym oparty na chaosie
- Implementacja sprzętowa i programowa

Dziękuję za uwagę.